

STAT6 (EP325)


Anticorps monoclonal STAT6 anti-humain de lapin (Clone EP325)

RÉFÉRENCES ET PRÉSENTATIONS ¹

- **prêt à l'emploi (manuel ou LabVision AutoStainer)**
MAD-000763QD-3
MAD-000763QD-7
MAD-000763QD-12
- **Prêt à l'emploi (MD-Stainer)²**
MAD-000763QD-3/V
MAD-000763QD/V
- **concentré**
MAD-000763Q - 1:50 recommandé
dilution recommandée

COMPOSITION

Anticorps monoclonal de lapin anti-Stat6 humain purifié à partir de surnageant de culture, filtré, stérilisé et préparé dans une PBS 10mM, pH 7,4, avec 0,2% de BSA et 0,09% d'azide de sodium.

UTILISATION PRÉVUE : Immunohistochimie (IHC) sur tissus inclus en paraffine. Non testé sur des tissus congelés ou en Western-Blotting.

CLONE: EP325³

ISOTYPE Ig : IgG de lapin

IMMUNOGÈNE : Peptide synthétique correspondant à la STAT6 humaine.

RÉACTIVITÉ POUR L'ESPÈCE : Diagnostic in vitro chez l'homme. Non testé chez d'autres espèces

DESCRIPTION ET APPLICATIONS :

Le Signal transducer and activator of transcription 6 (STAT6) est un membre de la famille STAT, qui englobe plusieurs facteurs de transcription cytoplasmiques responsables de la transmission au noyau des signaux d'activation induits par plusieurs cytokines et facteurs de croissance cellulaire. Plus précisément, la molécule STAT6 est essentielle dans la voie de transduction Jak/STAT, où elle est responsable de la régulation du signal qui contrôle le

développement embryonnaire, de la régulation de la différenciation cellulaire et de l'apoptose, ainsi que de certains aspects de la réponse immunitaire adaptative, essentiellement la sécrétion d'anticorps.

adaptative, essentiellement la sécrétion des interleukines 3 et 4. L'expression nucléaire ou cytoplasmique de STAT6 est un marqueur utile pour distinguer la tumeur fibreuse solitaire d'autres néoplasmes des tissus mous.

Une coloration nucléaire et/ou cytoplasmique peut être observée dans le tissu adipeux, le myomètre et les éléments neuronaux.

La tumeur fibreuse solitaire se caractérise classiquement par une morphologie fusocellulaire et des atypies nucléaires très variables avec une expression relativement constante du CD34 et une négativité de la protéine S100 dans les cellules néoplasiques. Néanmoins, même jusqu'à 12% de ces tumeurs sont négatives pour le CD34, ce qui peut conduire à des problèmes majeurs de diagnostic différentiel.

Les fusions de gènes sont fréquentes dans la tumeur fibreuse solitaire. De récentes études NGS ont montré la présence de la fusion NAB2-STAT6 due à une inversion chromosomique qui lie deux gènes adjacents situés sur le chromosome 12q13. Cette présence se retrouve dans 55 à 100% des tumeurs fibreuses solitaires, indépendamment de leur morphologie et de la localisation de la tumeur. L'analyse de cette inversion génomique est difficile à détecter au moyen de l'hybridation in situ fluorescente (FISH).

Par immunohistochimie, l'expression nucléaire de STAT6 permet de distinguer la tumeur fibreuse solitaire de certains de ses simulateurs dans les méninges (méningiome, glioblastome, gliosarcome, hémangioblastome, schwannome et hémangiome) et les angiosarcomes, léiomyosarcomes, tumeurs malignes de la gaine des nerfs périphériques, sarcomes synoviaux monophasiques et sarcomes dédifférenciés d'autres localisations.

Une étude utilisant un anticorps monoclonal STAT6 de lapin a détecté l'expression du marqueur STAT6 dans toutes les tumeurs fibreuses solitaires testées (54/54), indépendamment de leur histologie, de leur localisation anatomique et de l'expression ou non du CD34. De plus, il est intéressant de mentionner que, si la sensibilité et la spécificité de l'anticorps contre STAT6 sont élevées, la spécificité de STAT6 atteint

¹ These references are for presentation in vials of Low Density Polyethylene (LDPE) dropper. In case the products are used in automated stainers, a special reference is assigned as follows:

- / L: Cylindrical screw-cap vials (QD-3 / L, QD-7 / L, QD-12 / L).

- / N: Polygonal screw-cap vials (QD-3 / N, QD-7 / N, QD-12 / N).

For different presentations (references / volumes) please contact the supplier.

² For Technical specifications for MD-Stainer, please contact your distributor.

³ CK17 clone EP325 is manufactured using Epitomics's RabMAb® technology under U.S. Patent Nos. 5,675,063 and 7,402,409



presque 100% si elle est combinée à la détection intracytoplasmique positive d'ALDH1.

CONTRÔLE POSITIF IHC : coupe de tissu d'une tumeur fibreuse solitaire.

VISUALISATION: Nucléaire et cytoplasme

PROCÉDURE RECOMMANDÉE PAR L'IHC :

Une section de 4µm d'épaisseur doit être prélevée sur des lames chargées ; séchez pendant la nuit à 60°C.



- Déparaffiner, réhydrater et HIER (heat induced epitope retrieval) - faire bouillir le tissu dans le module Pt en utilisant le tampon EDTA pH8 de Vitro S.A pendant 20 minutes à 95°C. Après avoir terminé, rincer avec 3 à 5 changements d'eau distillée ou désionisée, puis refroidir à température ambiante pendant 20 minutes.

- Blocage de la peroxydase endogène : blocage pendant 10 minutes à température ambiante en utilisant la solution de peroxydase (réf. MAD-021540Q-125)

- Anticorps primaire : incuber pendant 20 minutes [La dilution de l'anticorps (lorsqu'il est concentré) et le protocole peuvent varier en fonction de la préparation de l'échantillon et de l'application spécifique. Les conditions optimales doivent être déterminées par le laboratoire individuel].

- Pour la détection, utilisez le système de détection Master Polymer Plus (HRP) (DAB inclus ; réf. MAD-000237QK).

- Contre-coloration à l'hématoxyline et montage final de la lame

STOCKAGE ET STABILITÉ :  Stocké à 2-8°C. Ne pas congeler.  Une fois l'emballage ouvert, il peut être conservé jusqu'à la date de péremption du réactif indiquée sur l'étiquette. Si le réactif a été stocké dans d'autres conditions que celles indiquées dans ce document, l'utilisateur doit d'abord vérifier son bon fonctionnement en tenant compte du fait que la garantie du produit n'est plus valable.

AVERTISSEMENTS ET PRÉCAUTIONS :

1. Éviter tout contact des réactifs avec les yeux et les muqueuses. Si les réactifs entrent en contact avec des zones sensibles, laver avec de grandes quantités d'eau.
2. Ce produit est nocif en cas d'ingestion.
3. Consulter les autorités locales ou nationales en ce qui concerne la méthode d'élimination recommandée.
4. Éviter la contamination microbienne des réactifs.

RECOMMANDATIONS DE SÉCURITÉ

Ce produit est destiné à un usage professionnel en laboratoire uniquement. Le produit n'est PAS destiné à être utilisé comme un médicament ou à des fins domestiques. La version actuelle de la fiche de données de sécurité de ce produit peut être téléchargée en recherchant le numéro de référence à l'adresse suivante www.vitro.bio ou peuvent être demandés à regulatory@vitro.bio.

BIBLIOGRAPHIE

1. Bromberg J, Darnell JE Jr.. Le rôle des STAT dans le contrôle transcriptionnel et leur impact sur la fonction cellulaire. *Oncogène* 2000 ; 19:2468–2473.
2. Lu X, Chen J, Sasmono RT, Hsi ED, Sarosiek KA, Tiganis T, Lossos IS. La protéine tyrosine phosphatase des cellules T, exprimée de manière distincte dans les lymphomes diffus à grandes cellules B de type cellule B activée, est la phosphatase nucléaire de STAT6. *Mol. Cellule. Biol.* 2007 ; 27:2166-2179.
3. Yoshida A, Tsuta K, Ohno M, Yoshida M, Narita Y, Kawai A, Asamura H, Kushima R. L'immunohistochimie STAT6 est utile dans le diagnostic des tumeurs fibreuses solitaires. *Suis J Surg Pathol.* 2014 ; 38:552-9.
4. van de Rijn M, Lombard CM, Rouse RV. Expression de CD34 par des tumeurs fibreuses solitaires de la plèvre, du médiastin et du poumon. *Suis J Surg Pathol.* 1994 ; 18:814-20.
5. Ouladan S, Trautmann M, Orouji E, Hartmann W, Huss S, Büttner R, Wardelmann E. Diagnostic différentiel des tumeurs fibreuses solitaires : une étude de 454 tumeurs des tissus mous indiquant la valeur diagnostique de la relocalisation nucléaire de STAT6 et de l'expression d'ALDH1 combinée à test de ligature de proximité in situ. *Int J Oncol.* 2015 ; 46:2595-605.
6. Robinson DR, Wu YM, Kalyana-Sundaram S, Cao X, Lonigro RJ, Sung YS, Chen CL, Zhang L, Wang R, Su F, Iyer MK, Roychowdhury S, Siddiqui J, Pienta KJ, Kunju LP, Talpaz M, Mosquera JM, Singer S, Schuetze SM, Antonescu CR, Chinnaiyan AM. Identification de fusions récurrentes de gènes NAB2-STAT6 dans une tumeur fibreuse solitaire par séquençage intégratif. *Nat Genet.* 2013 ; 45:180-5.
7. Akaike K, Kurisaki-Arakawa A, Hara K, Suehara Y, Takagi T, Mitani K, Kaneko K, Yao T, Saito T. Caractéristiques clinicopathologiques distinctes des variantes du gène de fusion NAB2-STAT6 dans la tumeur fibreuse solitaire en mettant l'accent sur l'acquisition à potentiel hautement malin. *Hum Pathol.* 2015 ; 46:347-56.
8. Guseva NV, Tanas MR, Stence AA, Sompallae R, Schade JC, Bossler AD, Bellizzi AM, Ma D. La fusion du gène NAB2-STAT6 dans une tumeur fibreuse solitaire



Vitro S.A.
Calle Luís Fuentes Bejarano 60 Ed. Nudo Norte Local 3 41020 Sevilla (Spain)
Tel: +34 954 933 200. vitro@vitro.bio ; www.vitro.bio



2020/09/21

2/3

peut être détectée de manière fiable par PCR multiplexée ancrée pour un séquençage ciblé de nouvelle génération . Cancer Genet. 2016 ; 209:303-12.

9. Tai HC, Chuang IC, Chen TC, Li CF, Huang SC, Kao YC, Lin PC, Tsai JW, Lan J, Yu SC, Yen SL, Jung SM, Liao KC, Fang FM, Huang HY. Les types de fusion NAB2-STAT6 expliquent les variations clinicopathologiques dans les tumeurs fibreuses solitaires. Mod Pathol. 2015 ; 28:1324-35.

10. Cheah AL, Billings SD, Goldblum JR, Carver P, Tanas MZ, Rubin BP. L'anticorps monoclonal de lapin STAT6 est un outil de diagnostic robuste pour la distinction de la tumeur fibreuse solitaire de ses mimiques. Pathologie. 2014 ; 46:389-95.







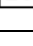
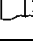

11. Vogels RJ, Vlechterie M, Versleijen-Jonkers YM, Ruijter E, Bekers EM, Verdijk MA, Link MM, Bonenkamp JJ, van der Graaf WT, Slootweg PJ, Suurmeijer AJ, Groenen PJ, Flucke U. Tumeur fibreuse solitaire : pathologie clinique , analyse immunohistochimique et moléculaire de 28 cas. Diagn Pathol. 2014 novembre 29 ; 9:224. doi : 10.1186/s13000-014-0224-6.

12. Guner G, Bishop JA, Bezerra SM, Taheri D, Zahavi DJ, Mendoza Rodriguez MA, Sharma R, Epstein JI, Netto GJ. L'utilité de l'expression de STAT6 et ALDH1 dans le diagnostic différentiel de la tumeur fibreuse solitaire par rapport aux néoplasmes stromaux spécifiques de la prostate. Hum Pathol. 2016 ; 54:184-8.

13. Demicco EG, Harms PW, Patel RM, Smith SC, Ingram D, Torres K, Carskadon SL, Camelo-Piragua S, McHugh JB, Siddiqui J, Palanisamy N, Lucas DR, Lazar AJ, Wang WL. Enquête approfondie sur l'expression de STAT6 dans une grande série de tumeurs mésoenchymateuses. Suis J Clin Pathol. 2015 Mai;143(5):672-82.

LABEL AND BOX SYMBOLS

Explanation of the symbols of the product label and box:

	Date d'expiration
	Limite de température
	Fabricant
	Contenu suffisant pour <n>essais
	Numéro de catalogue
	Code du lot
	Se référer au mode d'emploi
	Produit médical pour le diagnostic in vitro.
	Fiche de données de sécurité

